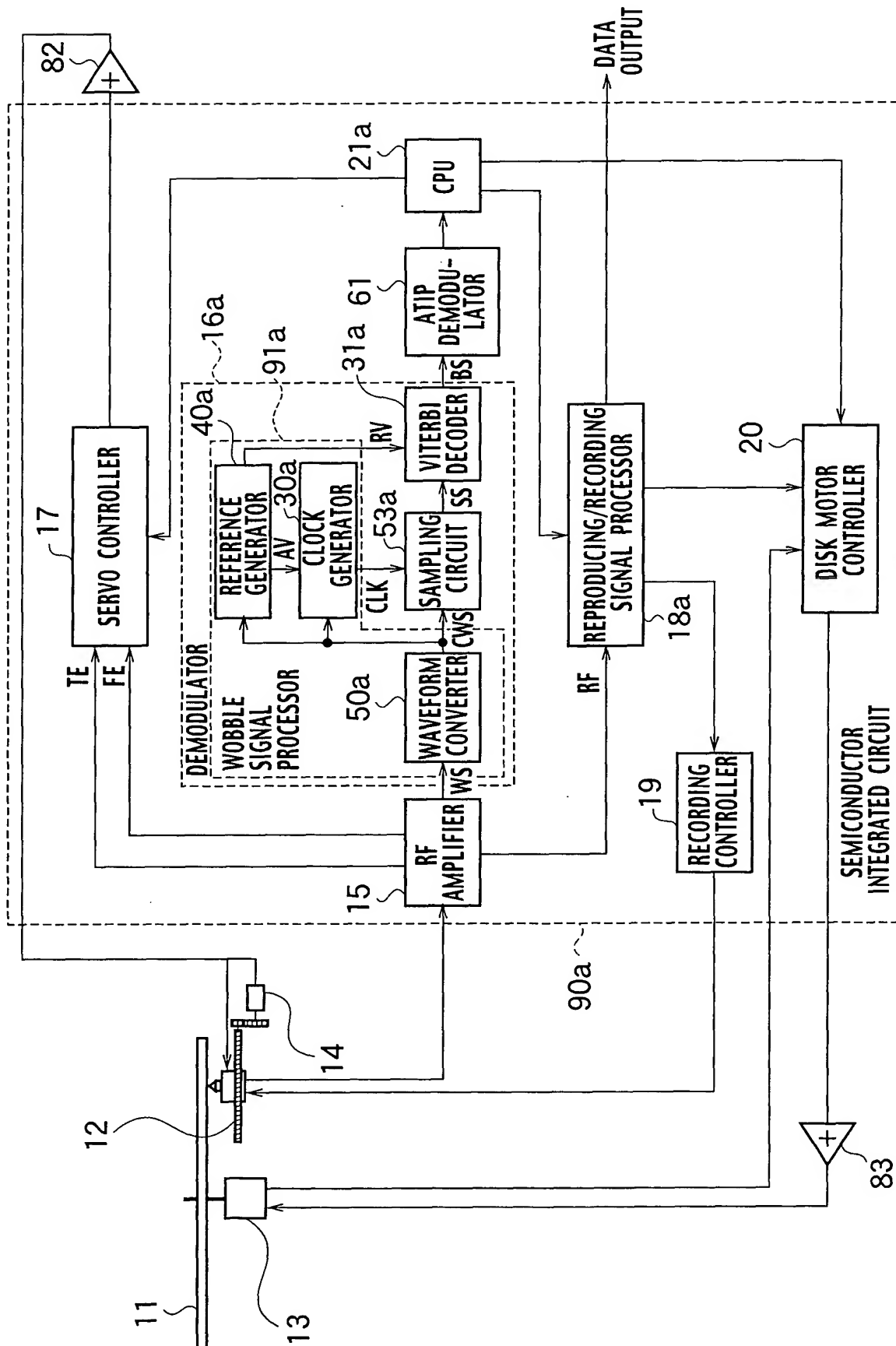


1/23

FIG. 1



3/23

FIG. 3

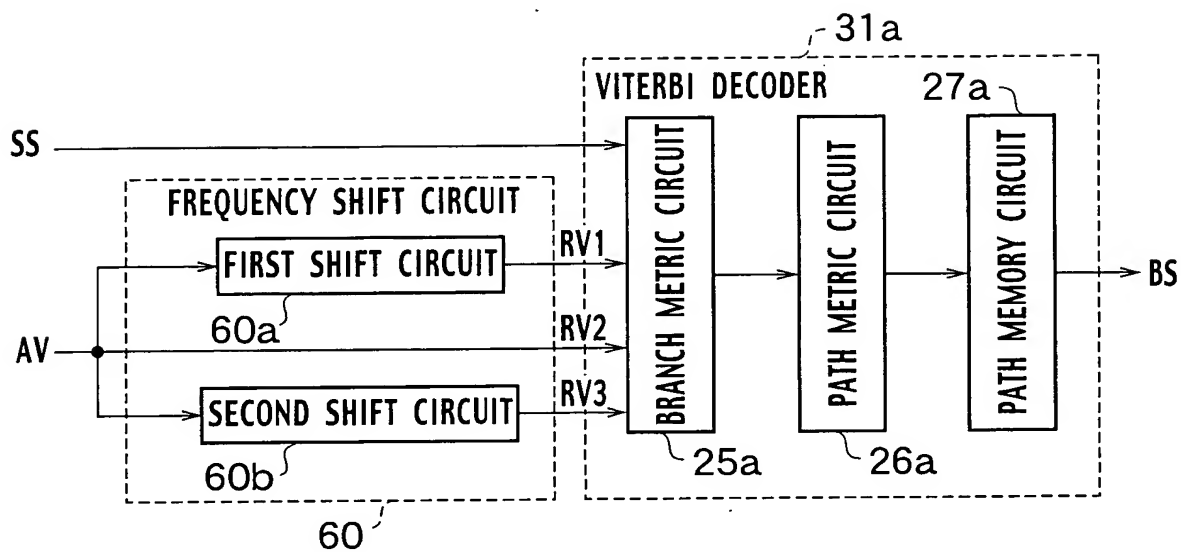
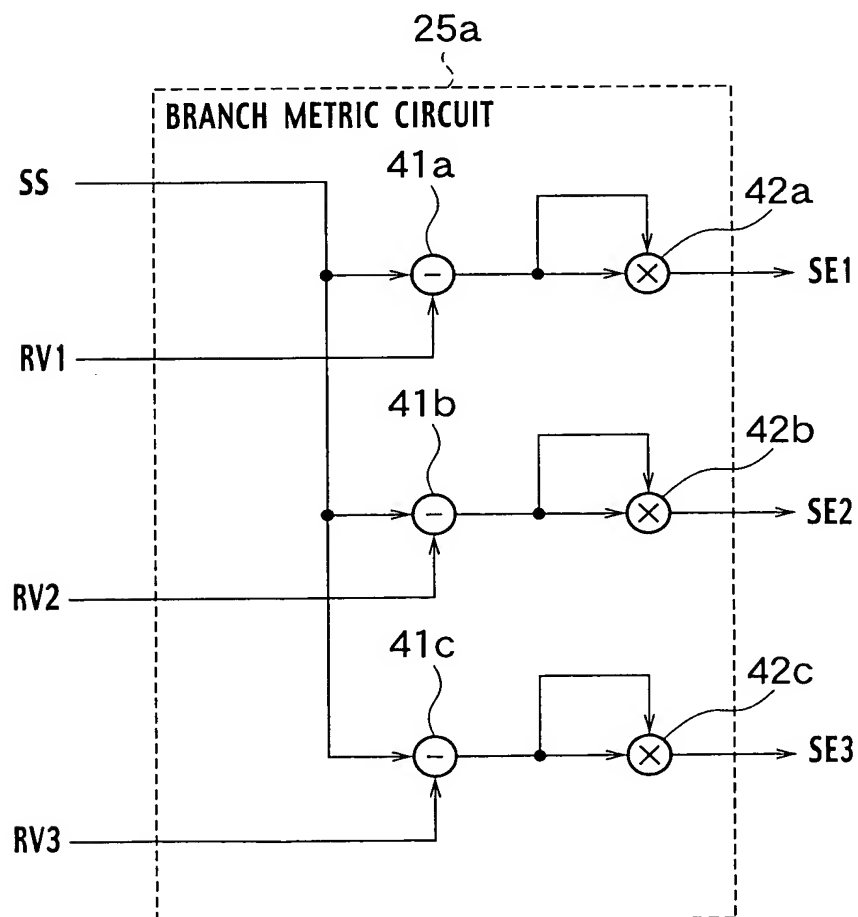


FIG. 4



4/23

FIG. 5A

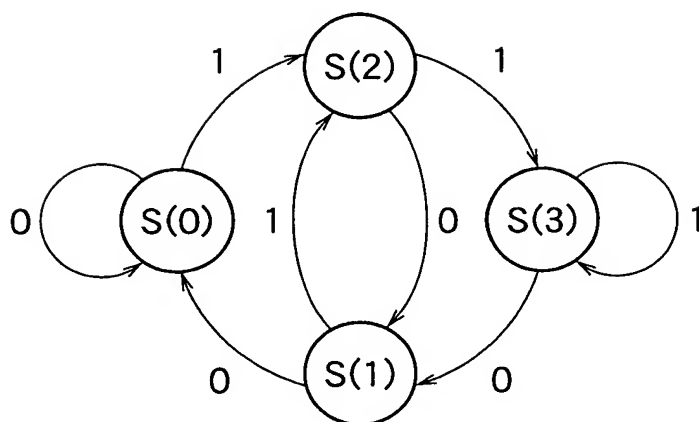
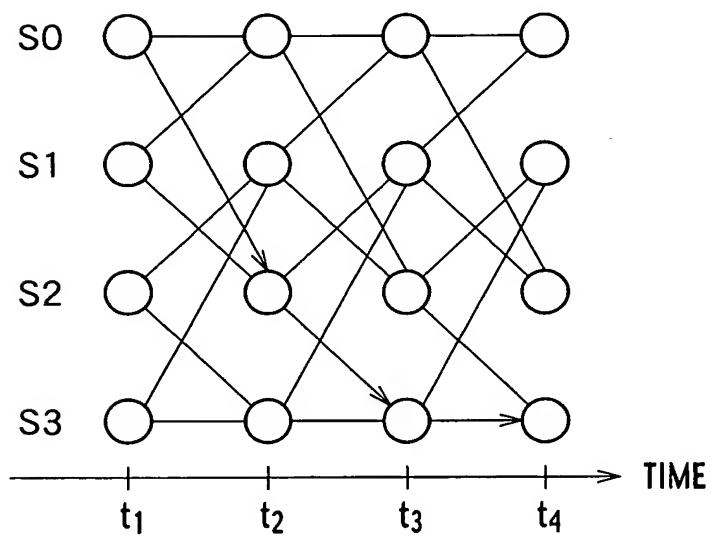
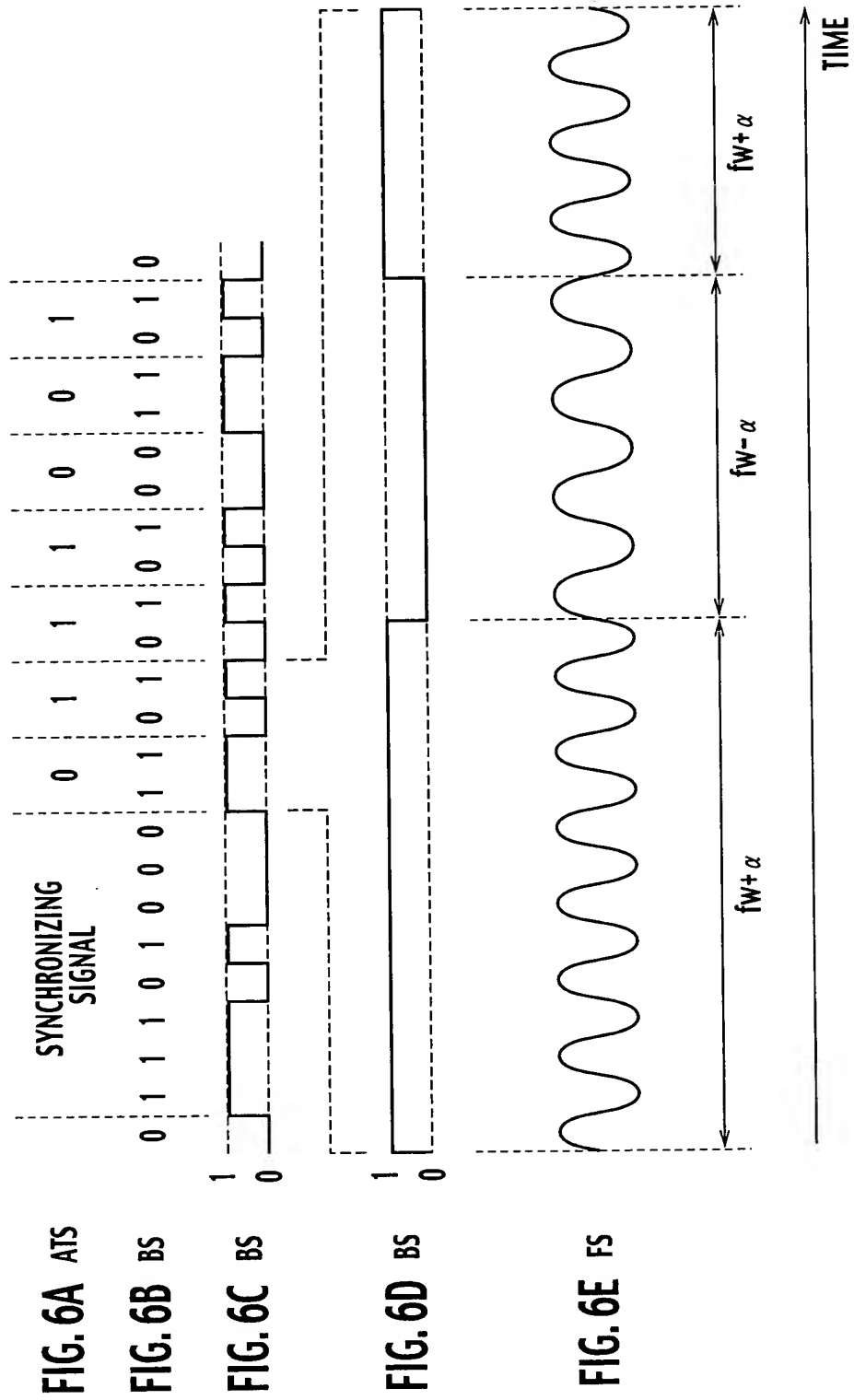
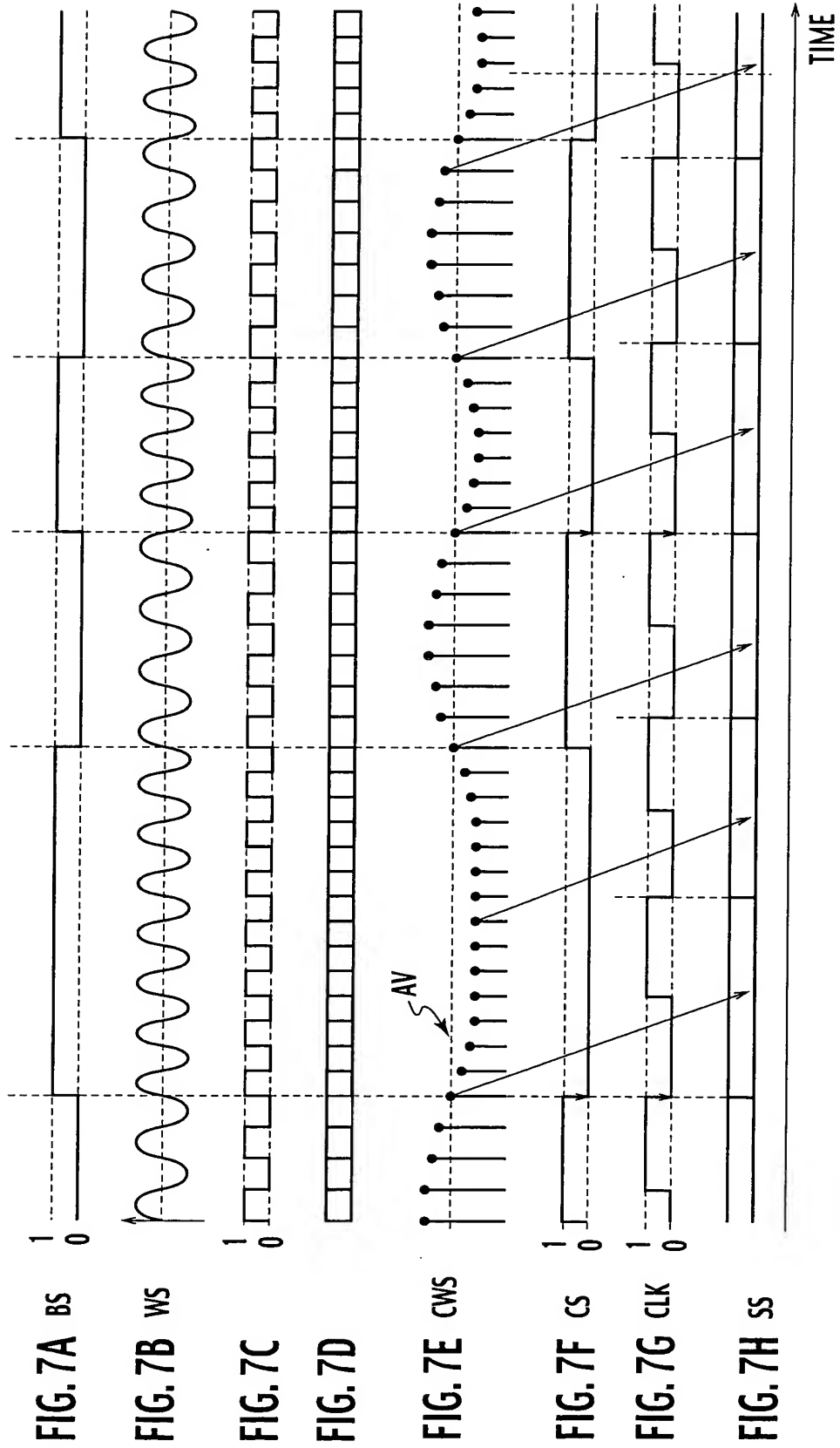


FIG. 5B





6/23



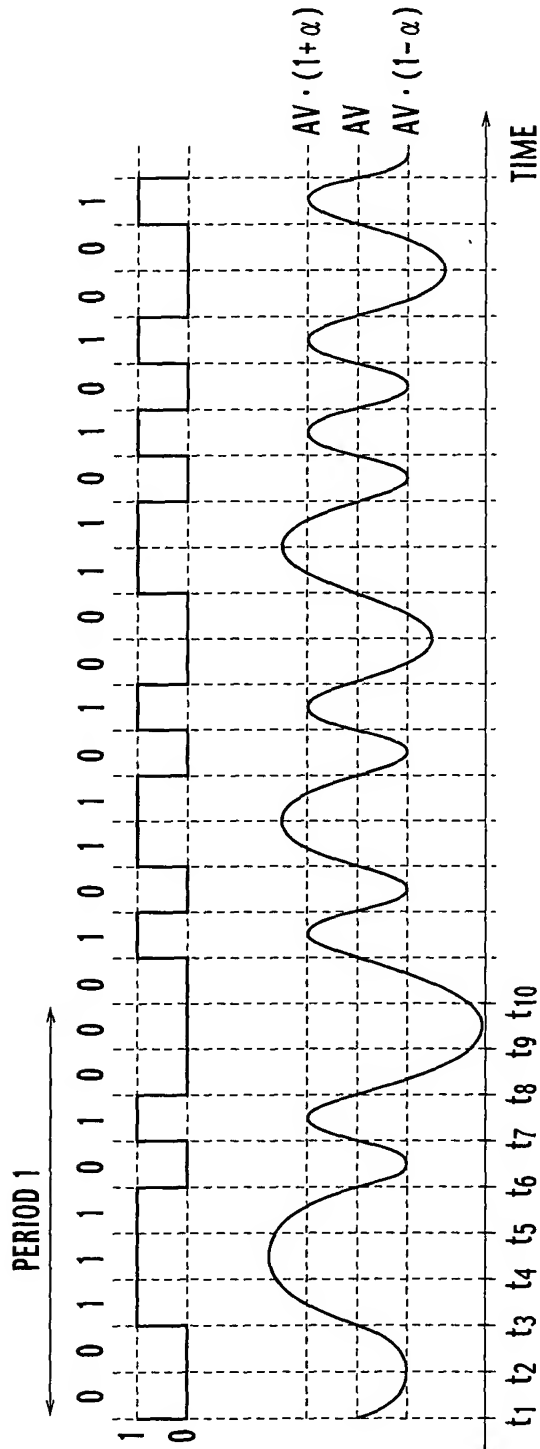


FIG. 8A BS

FIG. 8B cws



FIG. 8C STATE

8/23

FIG. 9A

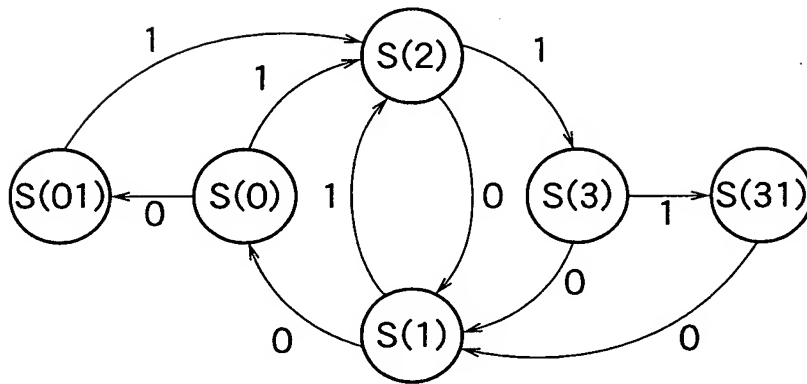
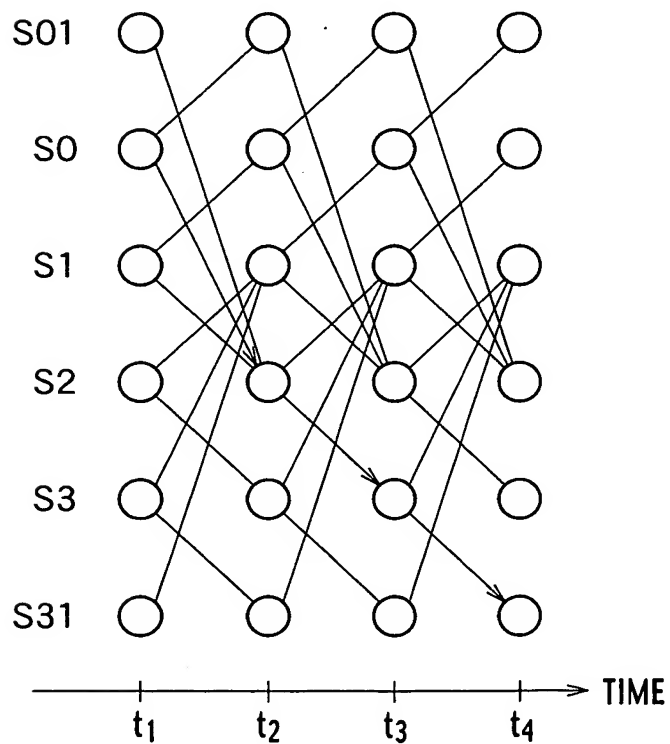
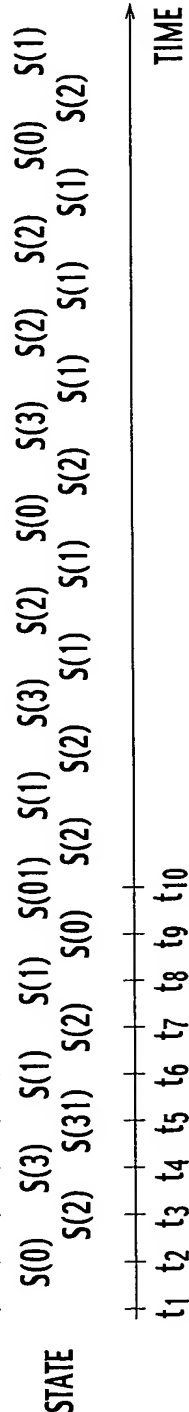
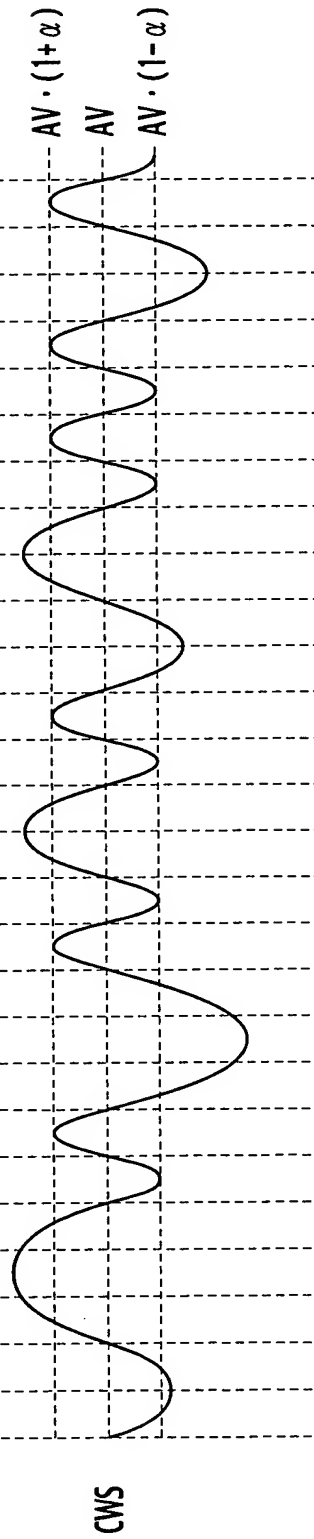
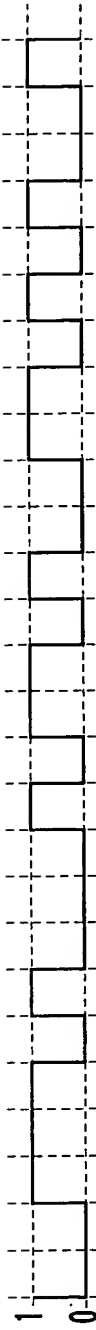


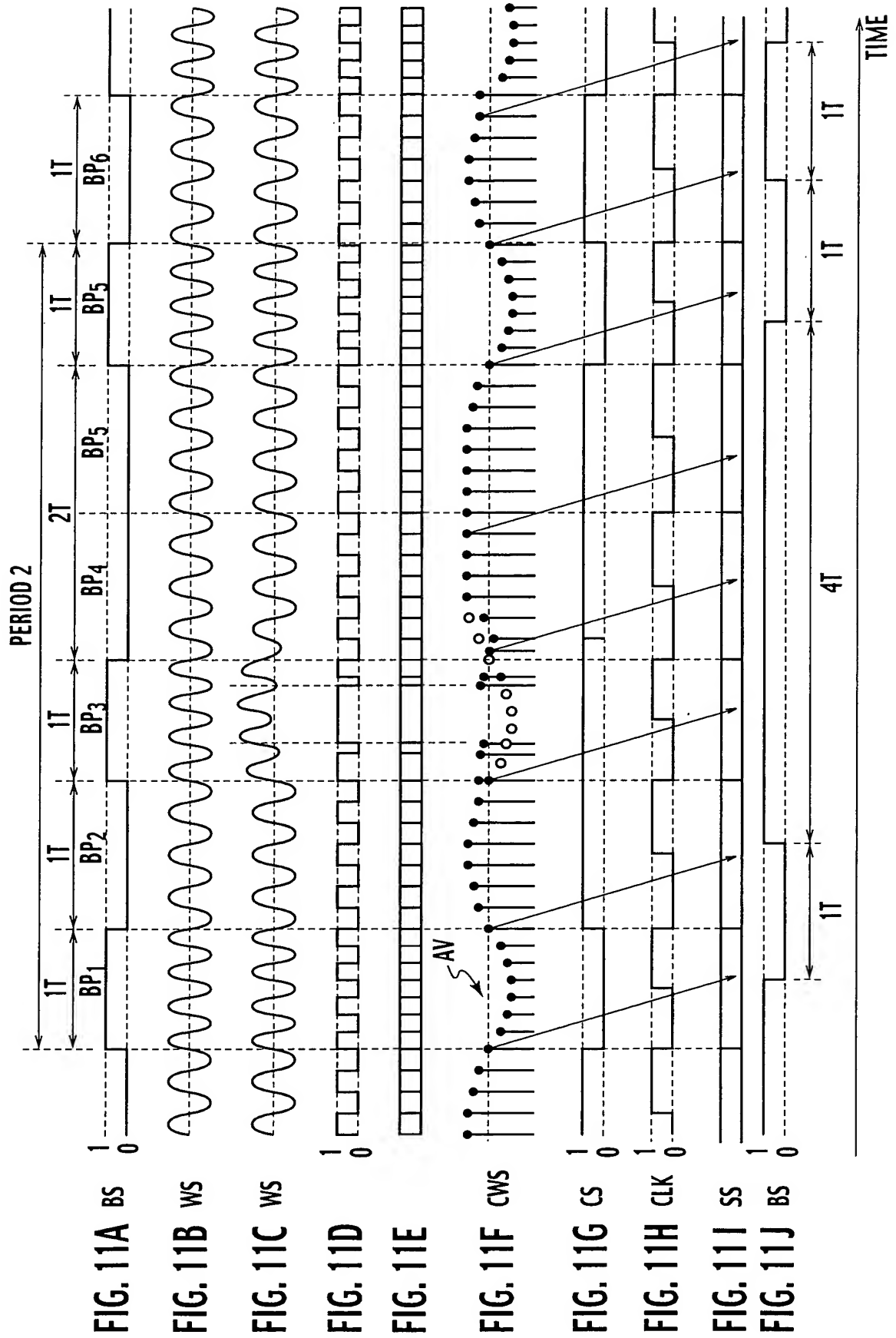
FIG. 9B



9/23



10/23



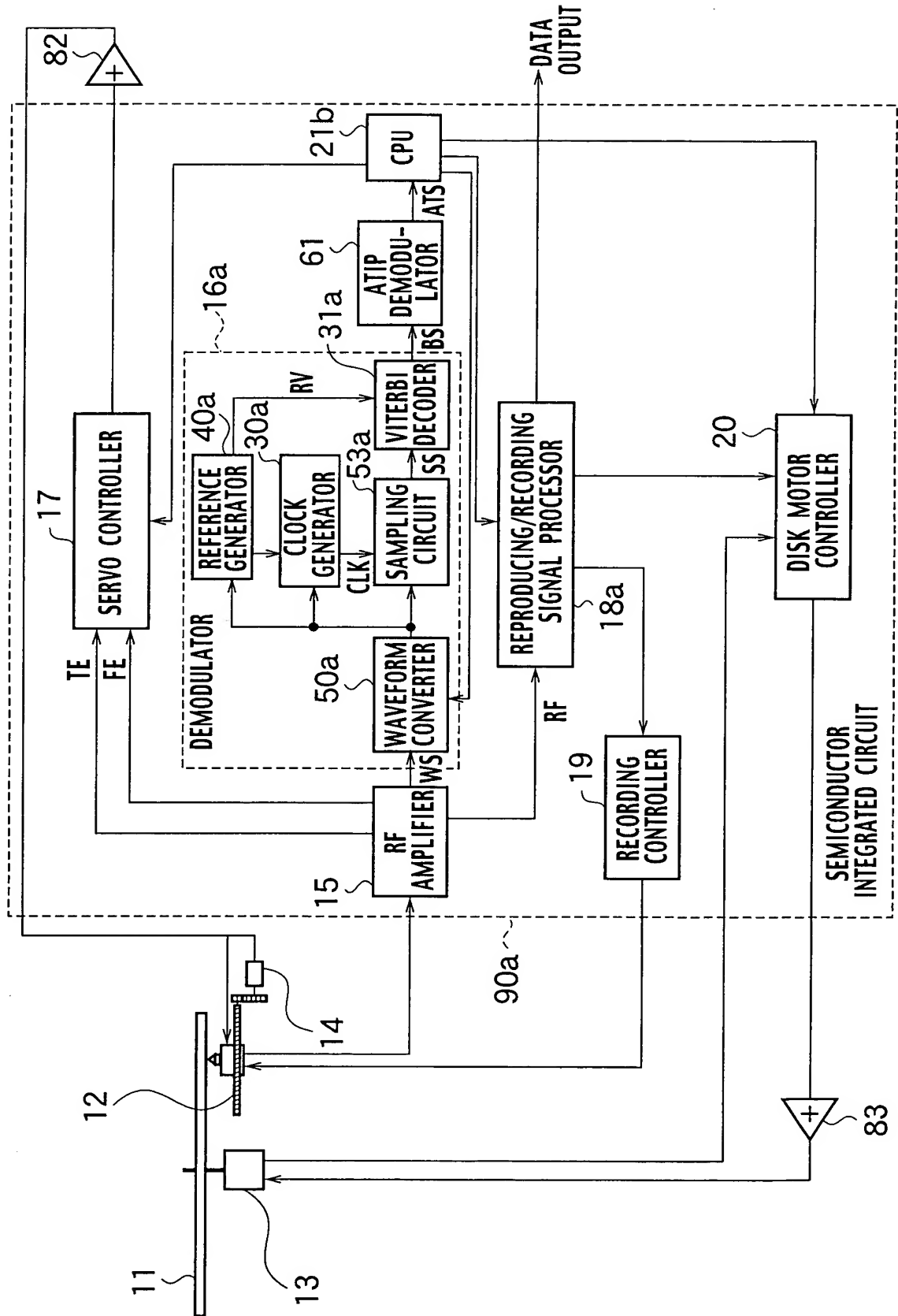
11/23

FIG. 12

(a) PATTERN	(b) BIPHASE CODE SEQUENCE						(c) SAMPLED SIGNAL VALUE					(d) ROOT-MEAN SQUARE ERROR
	BP1	BP2	BP3	BP4	BP5	BP6	L1	L2	L3	L4	L5	
1	1	0	1	0	0	1	0	0	0	1	0	0.25
2	1	0	1	0	1	1	0	0	0	0	1	2.25
3	1	0	1	1	0	1	0	0	-1	0	0	2.25
4	1	0	1	1	1	1	0	0	-1	-1	-1	6.25
5	1	0	0	0	1	1	0	1	1	0	-1	3.25
6	1	0	0	1	0	1	0	1	0	0	0	1.25
7	1	0	0	1	1	1	0	1	0	-1	-1	5.25

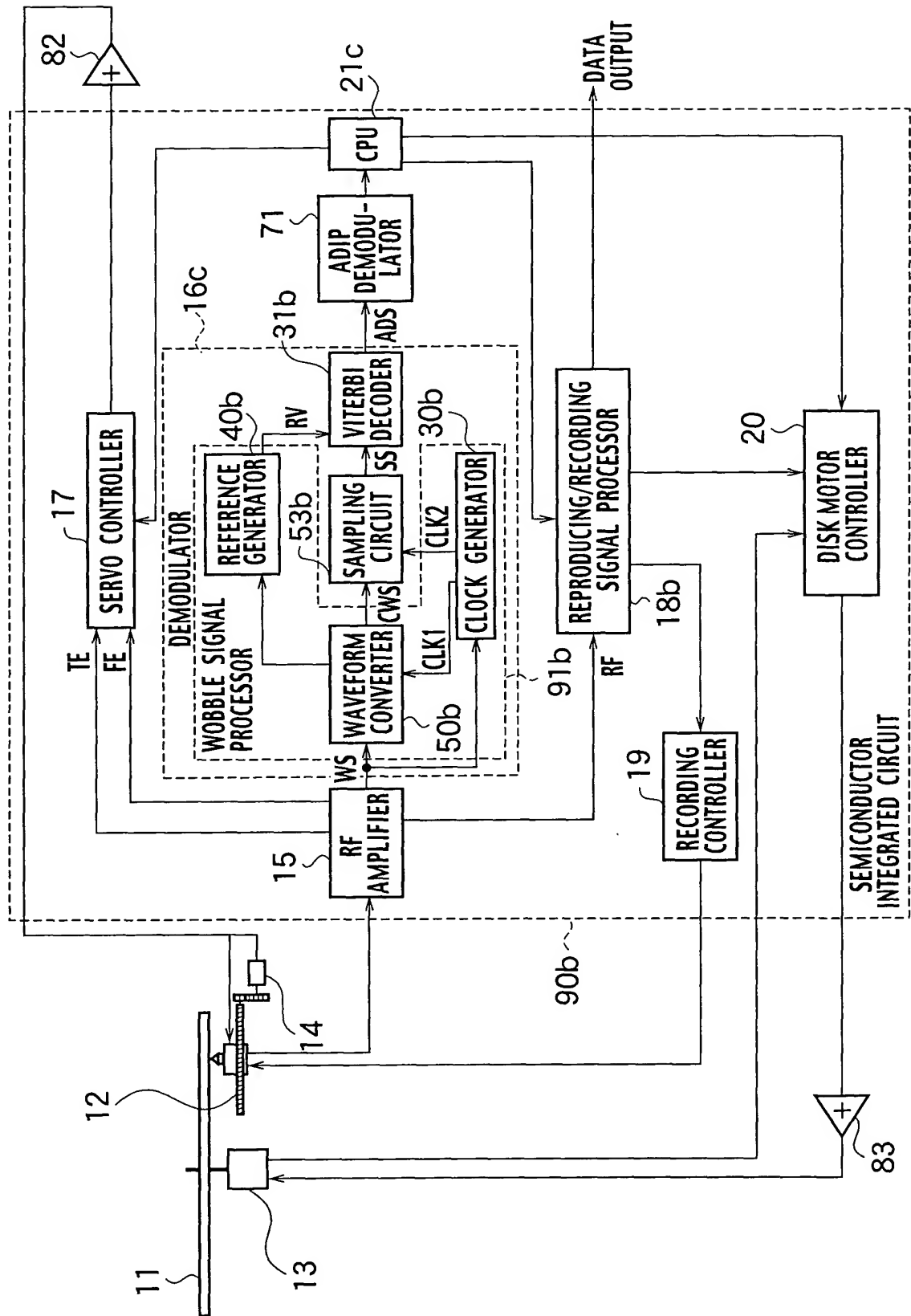
12/23

FIG. 13



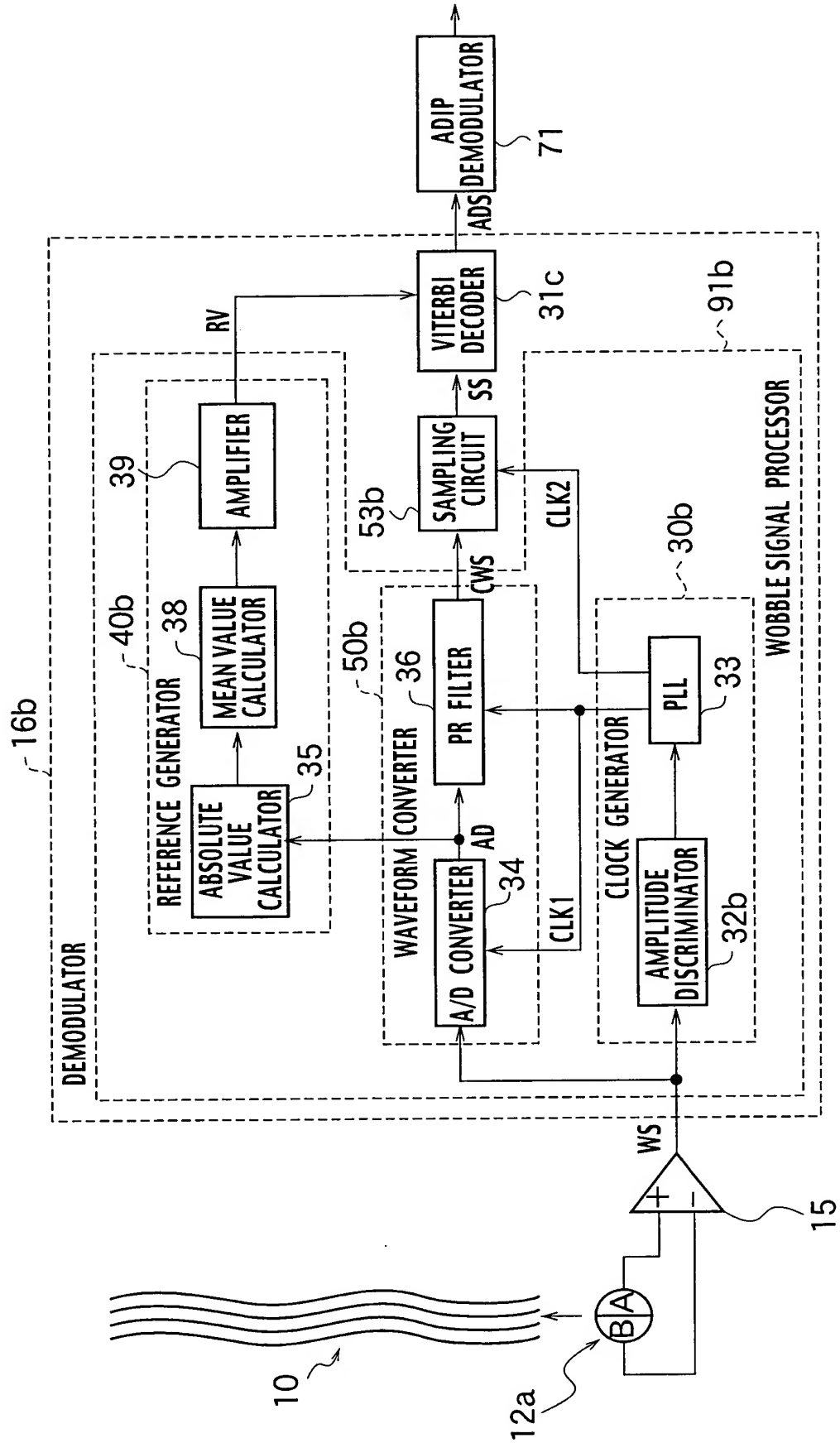
13/23

FIG. 14



14/23

FIG. 15



15/23

FIG. 16

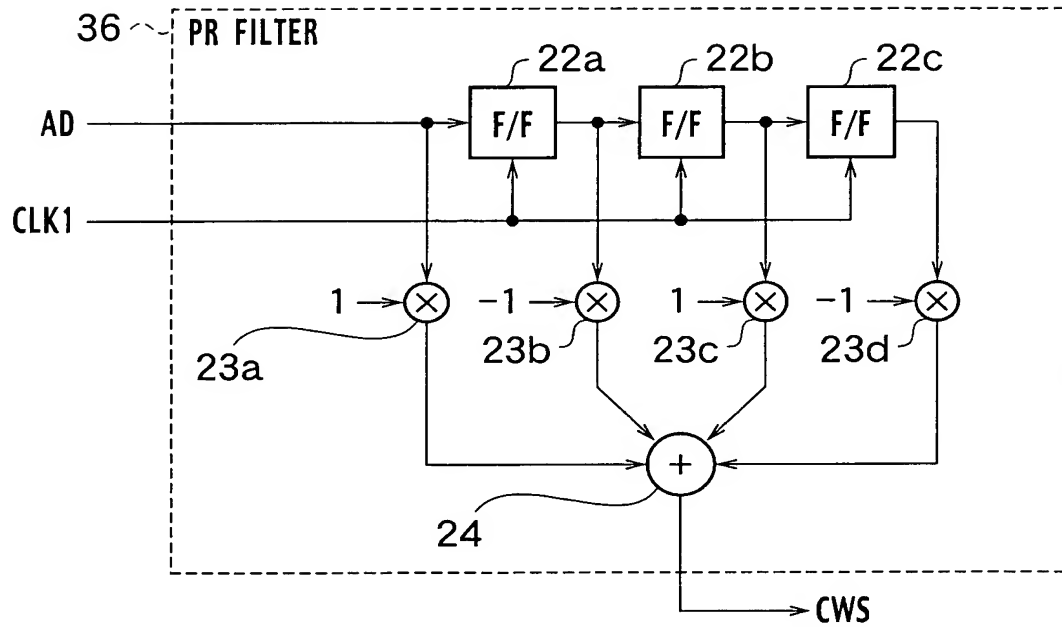


FIG. 17

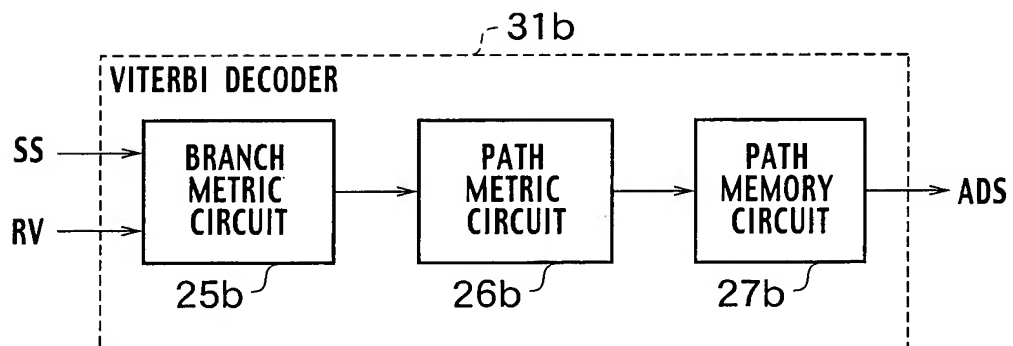
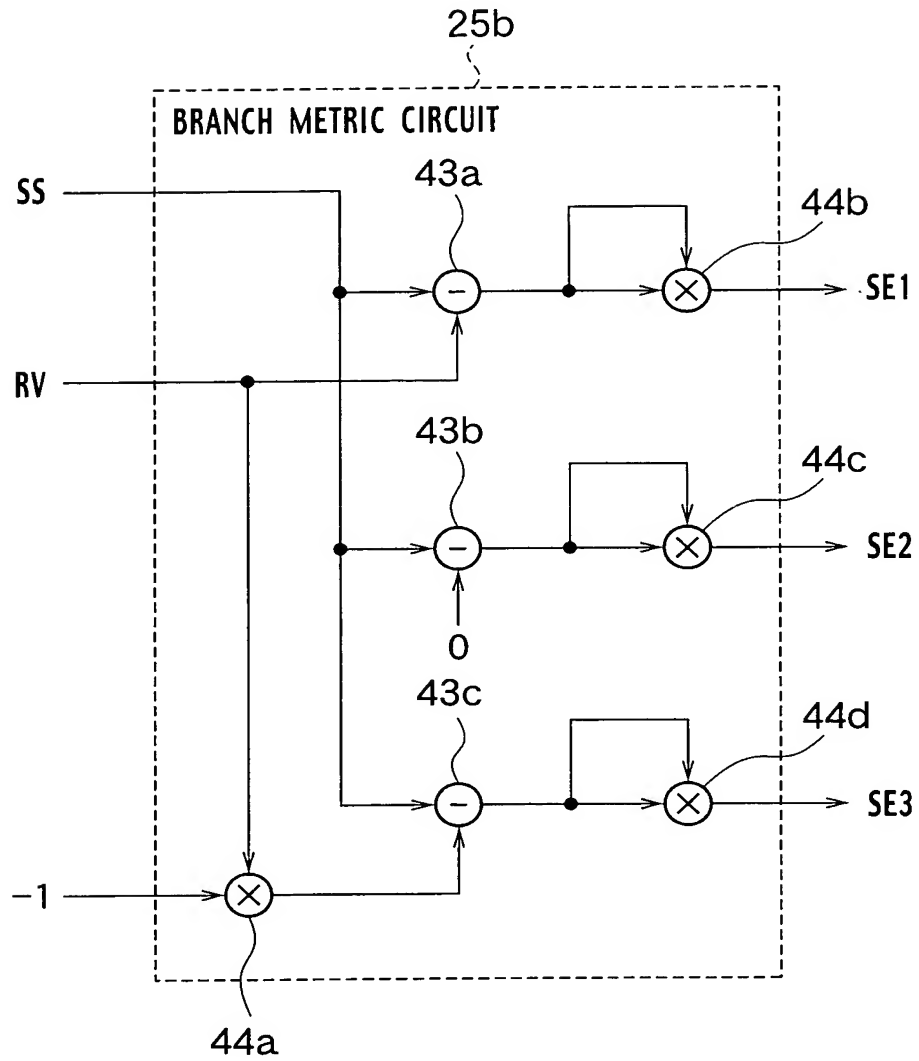


FIG. 18



17/23

FIG. 19A

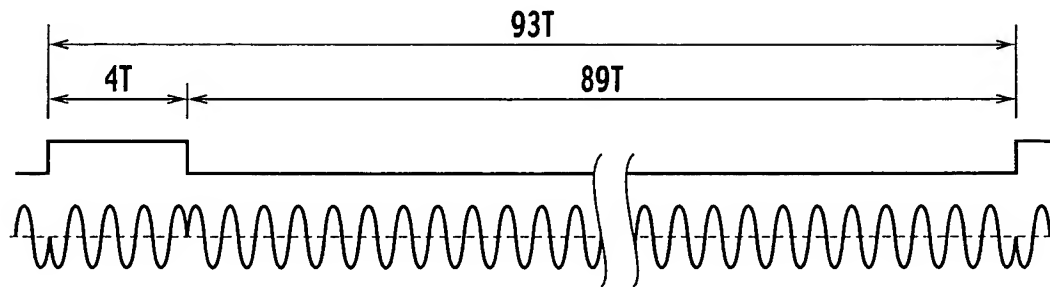


FIG. 19B

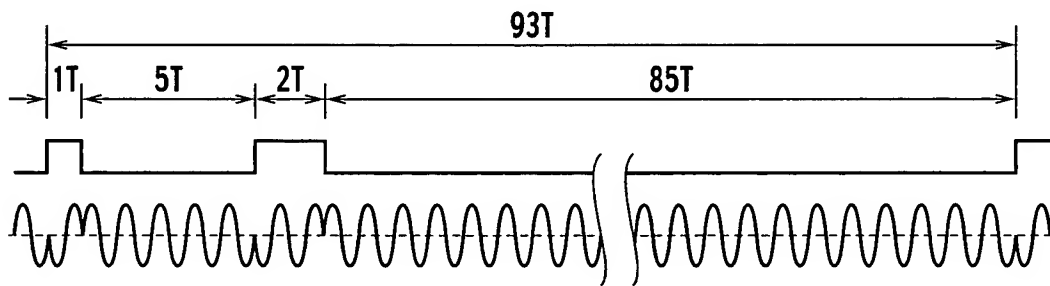
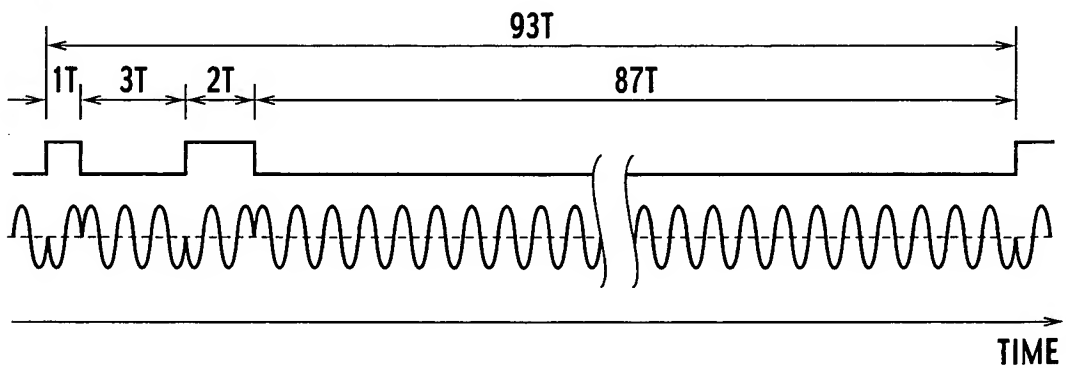
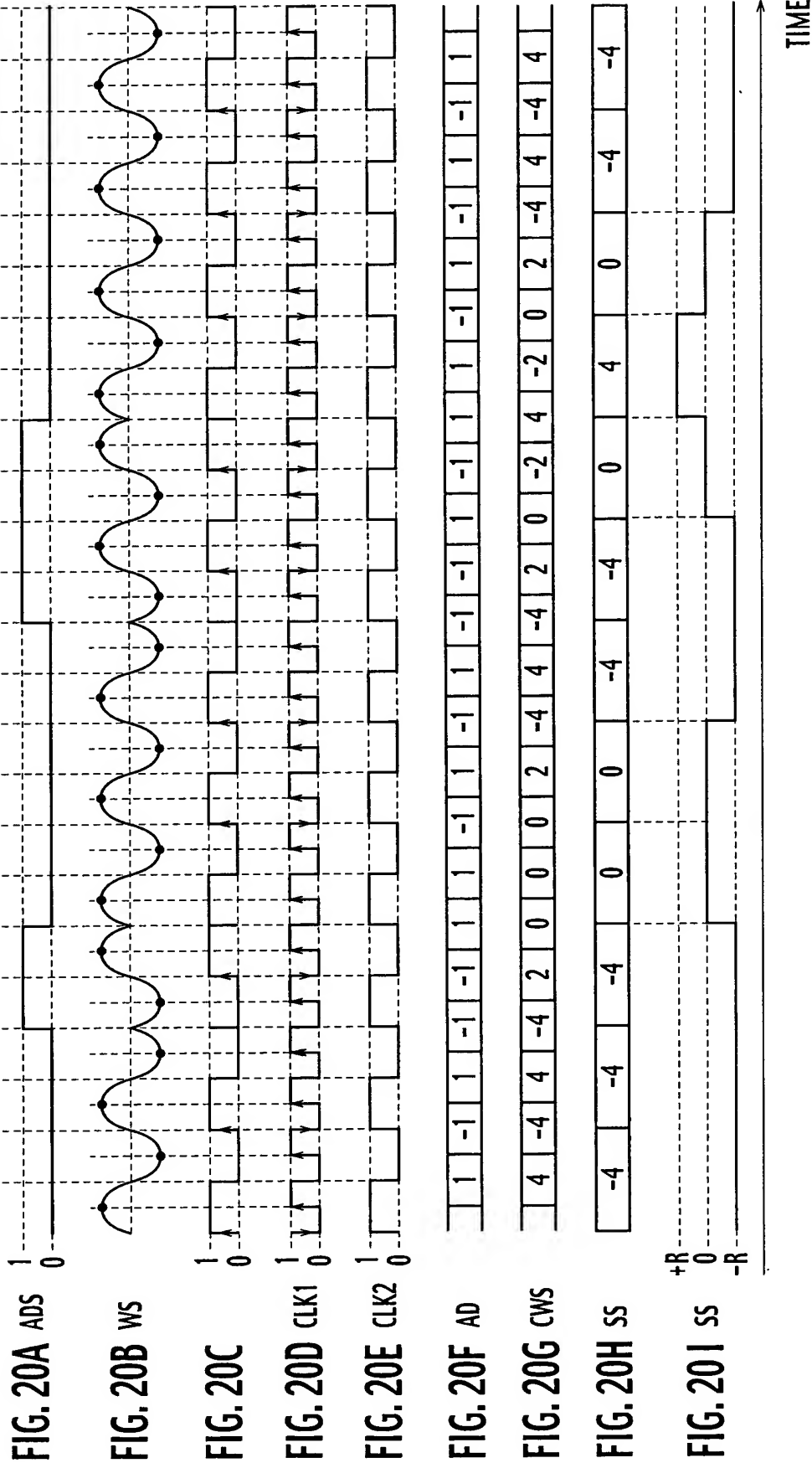
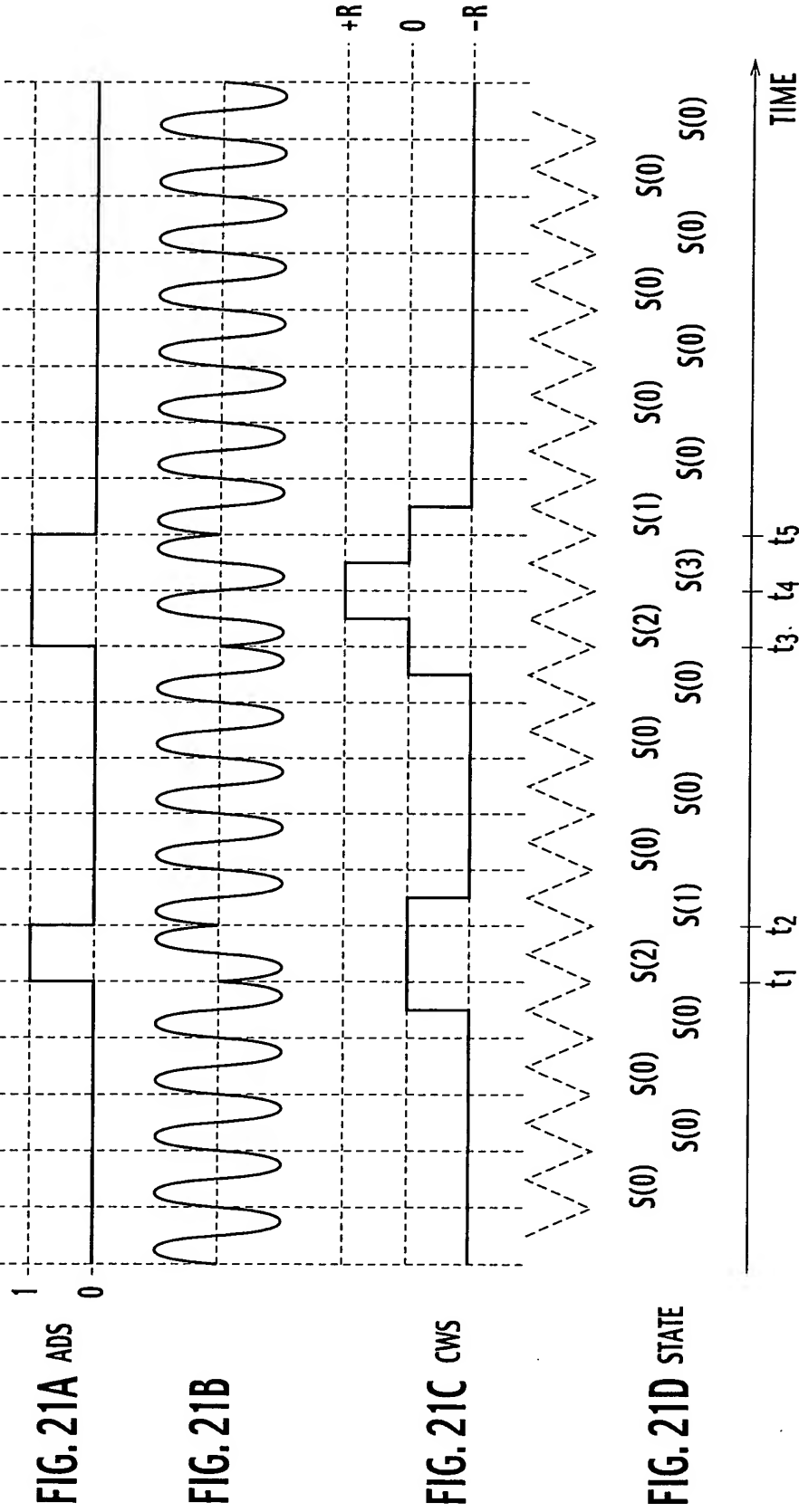


FIG. 19C





19/23



20/23

FIG. 22A

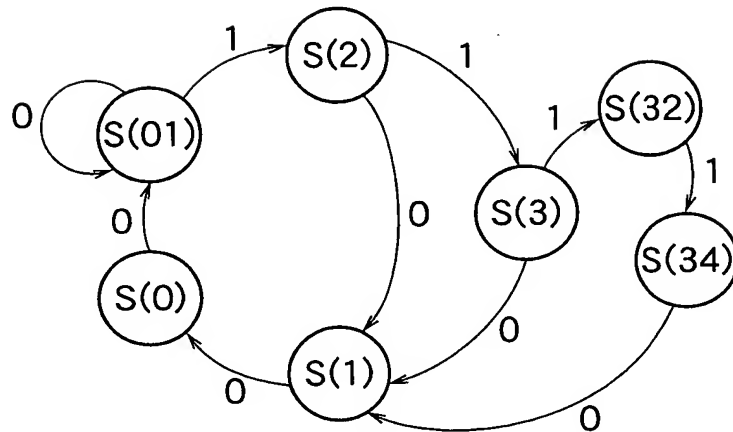
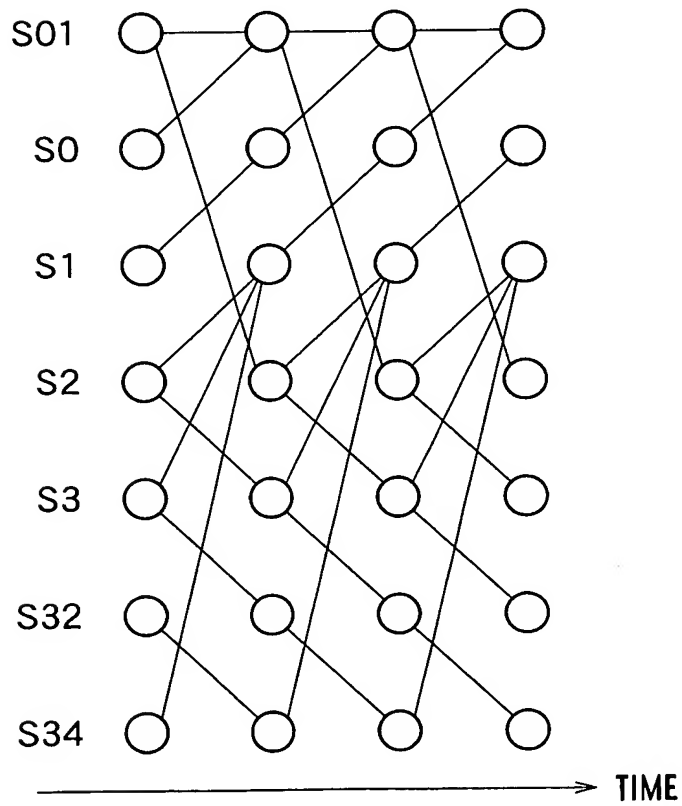


FIG. 22B



21/23

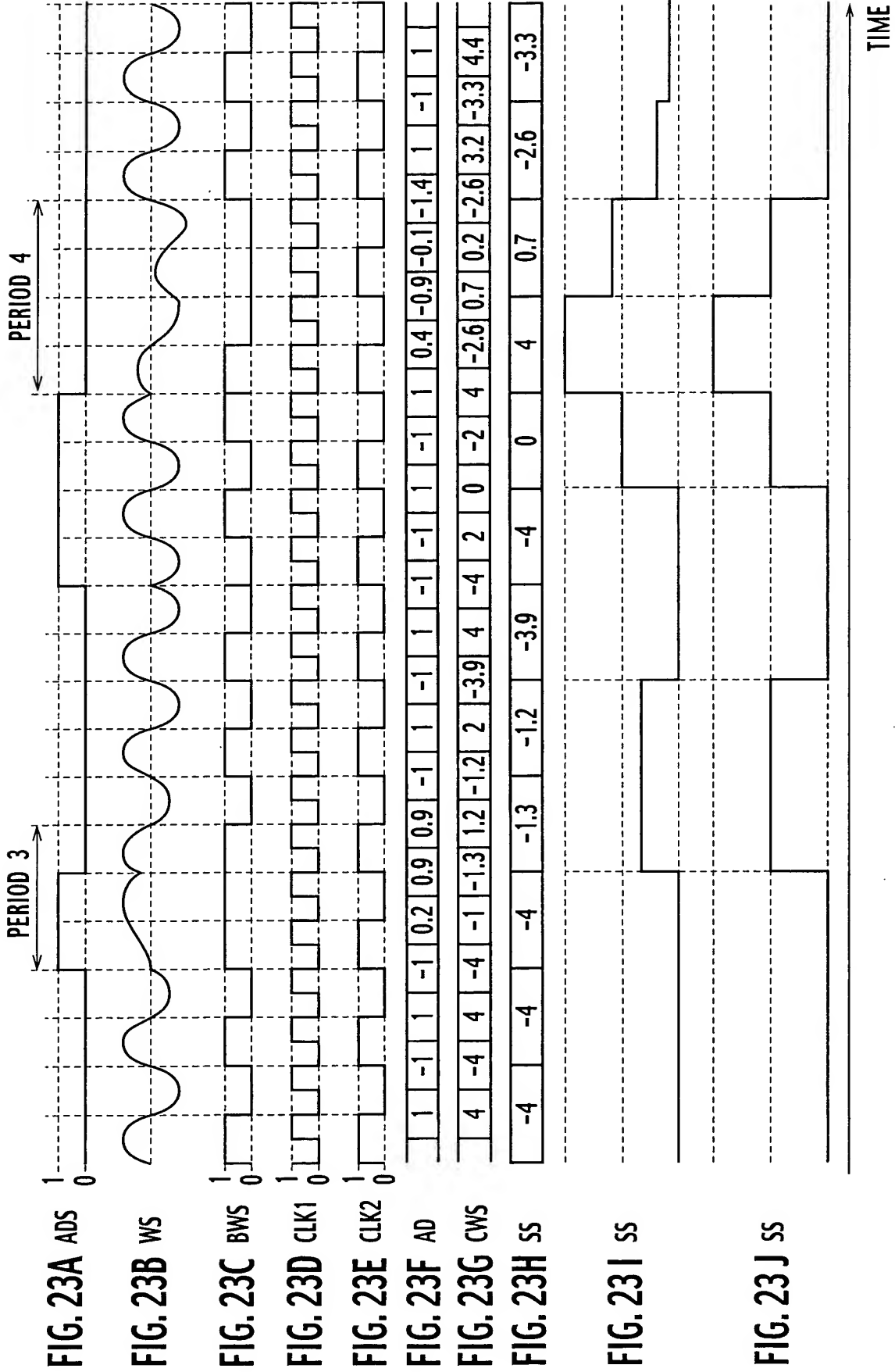


FIG. 24A
ADS

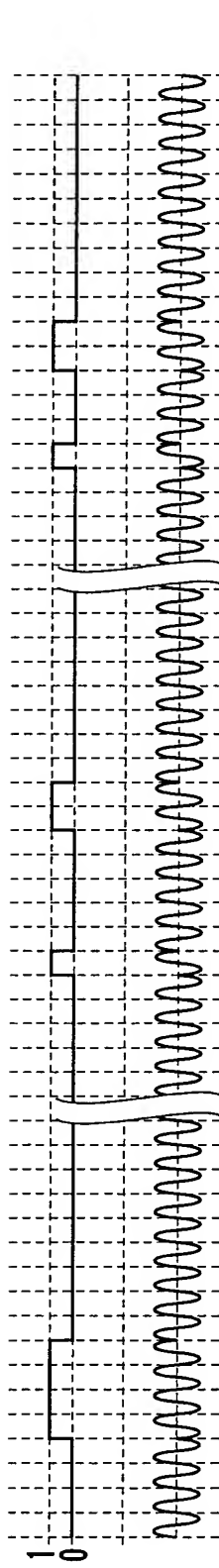


FIG. 24B

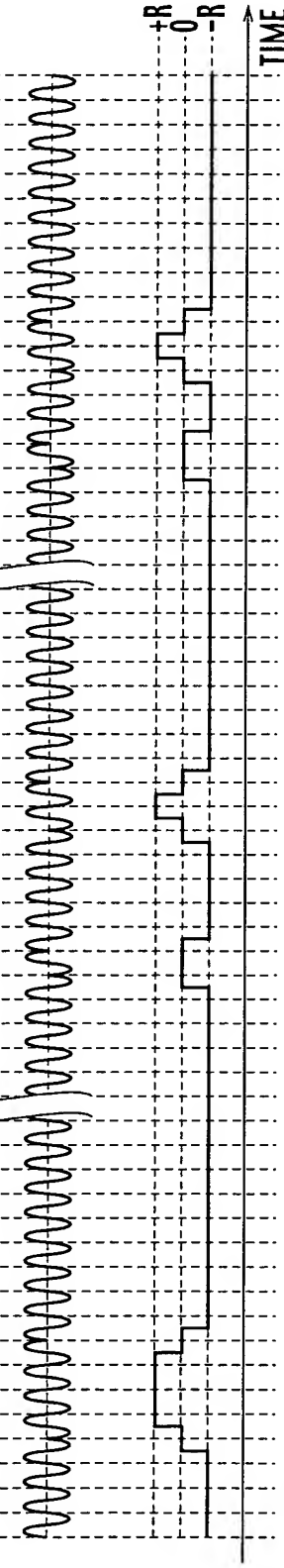


FIG. 24C
CWS

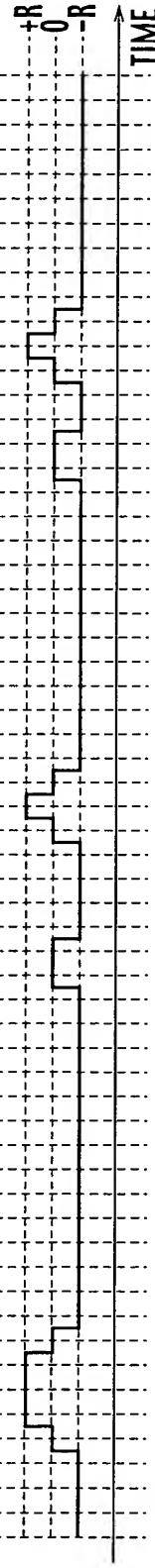


FIG. 24D
STATE

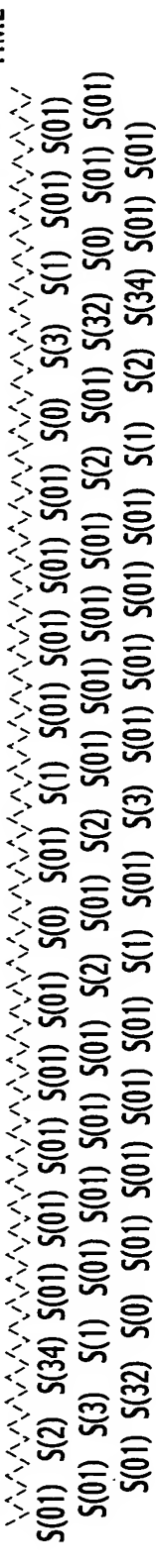


FIG. 25

